

ИЗВЕСТИЯ
ТОМСКОГО ОРДЕНА ТРУДОВОГО КРАСНОГО ЗНАМЕНИ ПОЛИТЕХНИЧЕСКОГО
ИНСТИТУТА им. С. М. КИРОВА

Том 151

1966

ИССЛЕДОВАНИЕ ВЛИЯНИЯ ВЕЛИЧИНЫ ПЕРЕДНЕГО
УГЛА РЕЗЦОВ ТВЕРДОСПЛАВНЫХ КОРОНОК
НА ГЛУБИНУ ВНEDРЕНИЯ И УСИЛИЯ РЕЗАНИЯ
ГОРНЫХ ПОРОД

В. И. ЗВАРЫГИН, С. С. СУЛАКШИН

(Представлена научным семинаром кафедры техники разведки)

Эффективность работы твердосплавных коронок в конечном итоге определяется глубиной внедрения и стойкостью резцов. Эти показатели зависят от многих факторов, в том числе и от величины переднего угла применяемых резцов. В связи с этим определение оптимальной величины переднего угла имеет большое значение для разработки рациональных конструкций твердосплавных коронок. В настоящее время существует два взгляда на зависимость усилия резания от величины переднего угла резца.

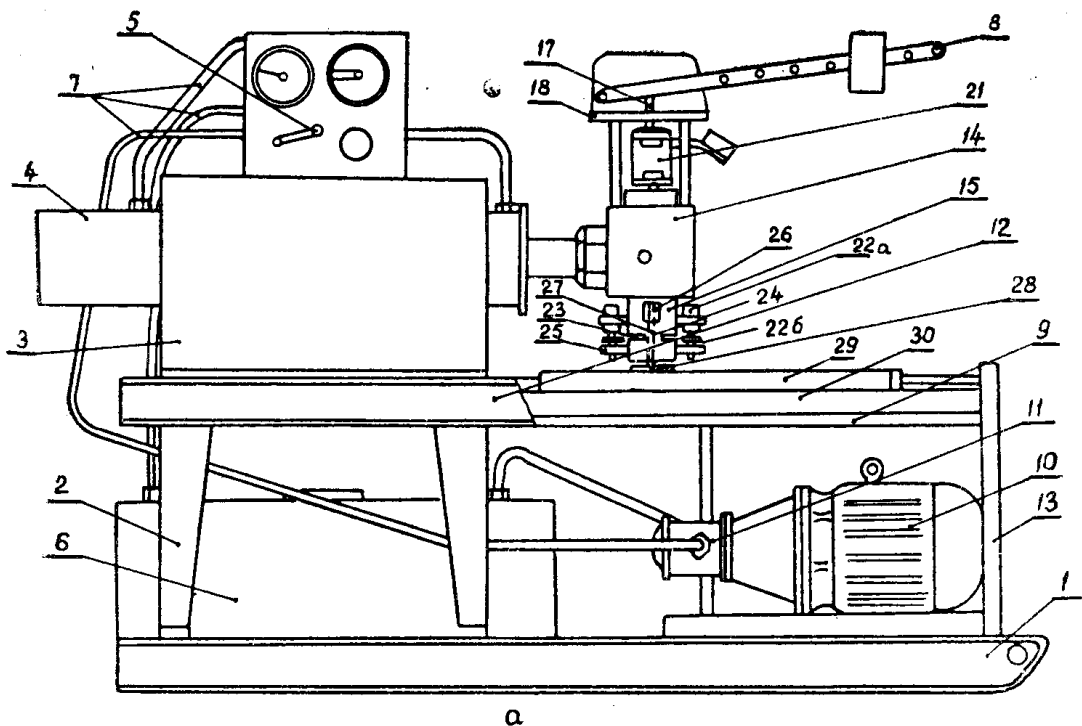
И. А. Остроушко [1], ссылаясь на опыты В. Д. Романова, Ф. А. Шамшева, Б. Е. Свешникова и др., считает, что при резании горных пород передние углы, имеющие значения менее 90° , заметного влияния на усилия резания не оказывают. При углах резания выше 90° ухудшаются условия для выхода стружки, увеличивается трение и дополнительное дробление, вследствие чего усилия резко возрастают.

Ю. Н. Казак [2] на основании опытов при резании антрацита нашел, что увеличение угла резания от 30 до 60° практически не приводит к увеличению усилий резания. При увеличении угла резания от 60 до 90° усилия резания увеличиваются на 40 — 90% и особенно интенсивный рост наблюдается при увеличении угла выше 90° . По данным В. Н. Гетопанова [2], с увеличением угла резания от 30 до 60° усилия изменяются по сравнению с усилиями для вертикально установленного резца на 65 — 70% и от 60 до 90° на 70 — 100% , а с увеличением угла от 90 до 120° усилия возрастают на 170% .

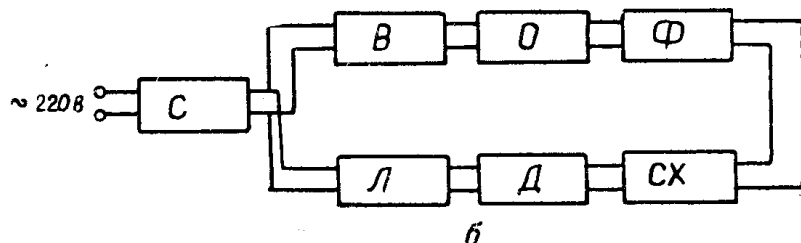
С целью выявления влияния переднего угла на усилия резания и глубину внедрения резца, а также установления зависимости между указанными параметрами нами были проведены исследования при широком диапазоне измерения передних углов резцов от -60 до $+60^\circ$. Опыты проводились на специальной установке при резании мелкозернистых и среднезернистых песчаников и алевролитов Кузбасса.

Лабораторная установка, на которой проводились исследования, представляет собой гидравлическую машину с горизонтально расположенным цилиндром (рис. 1). Для замеров усилий, действующих на резец, был разработан вертикальный шпиндель-динамометр, в котором физические величины (усилия резания и глубина внедрения резца) преобразовывались в электрические и записывались на пленку осциллографа Н-700.

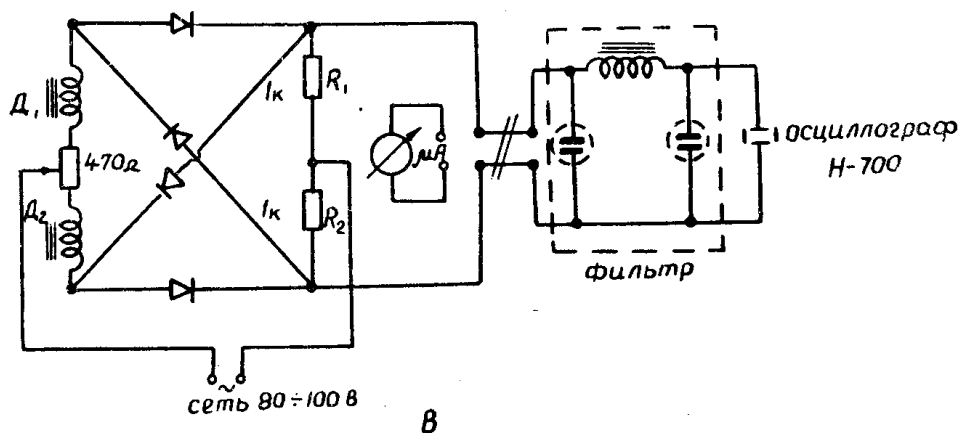
Испытываемые образцы горных пород крепились на специальном столике, вдоль которого перемещался шток с закрепленным на его конце с помощью муфты шпинделем-динамометром.



а



б



в

Рис. 1. а) Схема лабораторной установки для исследования резцов: 1 — рама, 2 — нижняя станина, 3 — верхняя станина, 4 — гидроцилиндр, 5 — прибор гидроуправления, 6 — маслобак, 7 — маслопровод, 8 — рычаг, 9 — столик, 10 — электродвигатель, 11 — маслонасос, 12 — швейлер, 13 — стойка, 14 — муфта, 15 — шпиндель-динамометр, 16 — углубление для плашек, 17 — палец, 18 — площадка, 19, 20 — манометры, 21 — динамометр ДС-02, 22, а — катушка датчика, 22, б — якорь, 23 — паз, 24 — перемычка, 25 — проушина, 26 — катушка датчика, 27 — сердечник, 28 — пластинка, 29 — образец породы, 30 — лоток;

б) схема электрической системы лабораторной установки;
в) мостовая схема лабораторной установки.

Резцы устанавливались в плашках, которые, в свою очередь, крепились в гнезде нижней части динамометра. В зависимости от требуемого наклона резца выбирались соответствующие плашки.

На основании полученных осциллограмм были построены графики зависимости глубины внедрения и усилий резания от величины переднего угла. Каждая кривая строилась по результатам 15—20 резов при постоянных условиях опытов.

На графике (рис. 2, а) показана зависимость осевых усилий резания P от глубины внедрения при различных значениях переднего угла

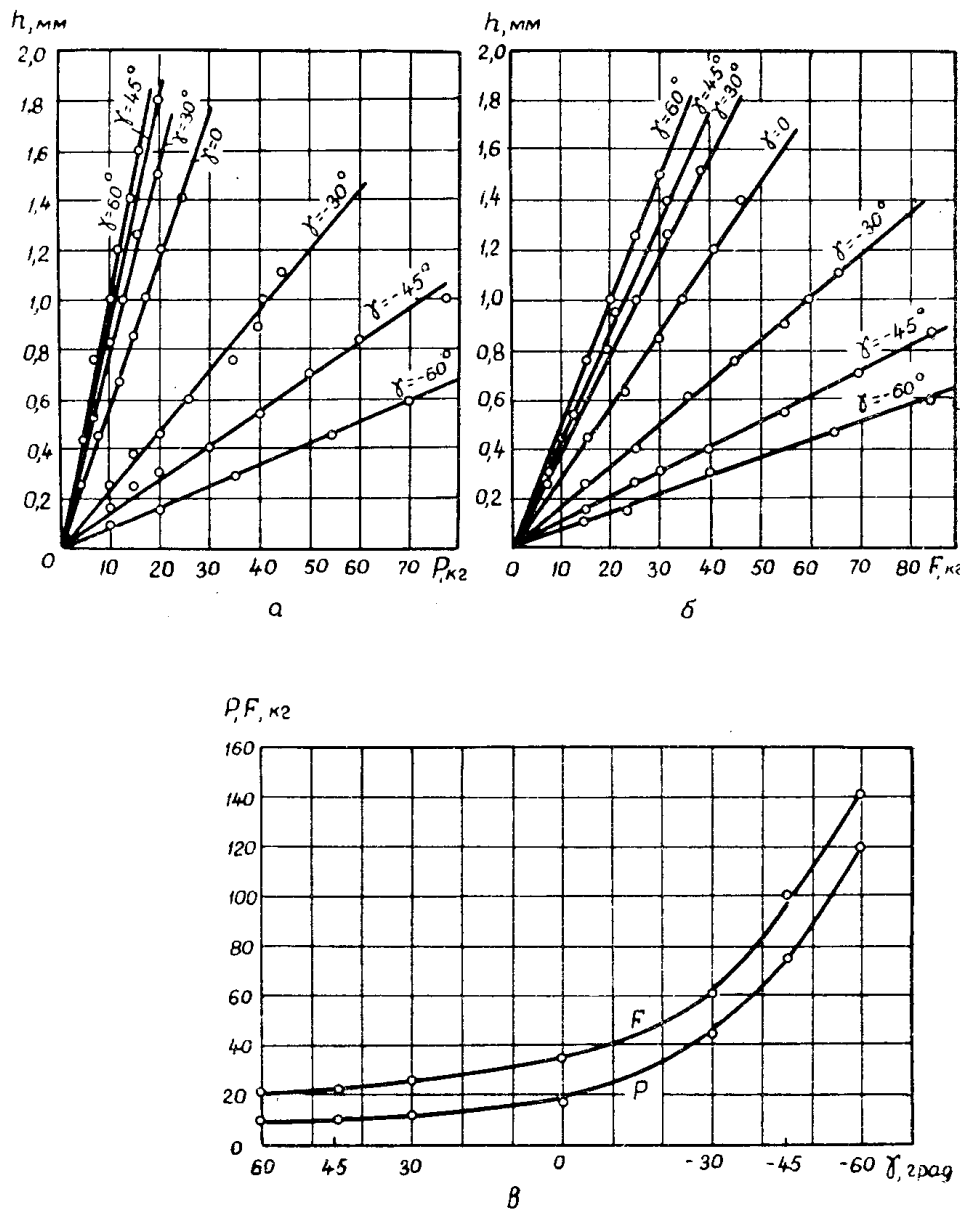


Рис. 2, а) График зависимости осевого усилия от глубины внедрения резца при различных значениях переднего угла;
б) график зависимости горизонтальных усилий от глубины внедрения резца при различных значениях переднего угла;
в) график зависимости усилий резания от переднего угла резца

резца γ . На рис. 2, б приводится график зависимости горизонтальных усилий F от глубины внедрения при разных значениях переднего угла

резца. Наконец, на рис. 2, в показана зависимость усилий резания (P, F) от величины переднего угла. Из полученных графиков вытекают следующие выводы:

1. Зависимости $F = f(h)$; $P = f(h)$ носят линейный характер. К такому же выводу пришли при резании антрацита А. И. Берон, А. С. Казанский и Е. З. Позин [3].

2. С увеличением переднего угла при одинаковой глубине внедрения резца осевые усилия растут быстрее, чем горизонтальные.

3. Для положительных и отрицательных углов рост усилий резания происходит по различным закономерностям:

а) при изменении переднего угла в пределах $+60 \div 0^\circ$ осевые усилия колеблются незначительно;

б) при изменении переднего угла от 0 до -60° горизонтальные и осевые усилия растут более интенсивно, чем при $\gamma=0 \div +60^\circ$.

Полученные опытным путем зависимости позволяют обосновать выбор оптимального переднего угла резцов, исходя из условий их наиболее эффективной работы и достаточной стойкости против излома (поломки).

Для случая резания горной породы твердосплавными резцами воспользуемся упрощенной схемой работы резца (рис. 3). Вследствие

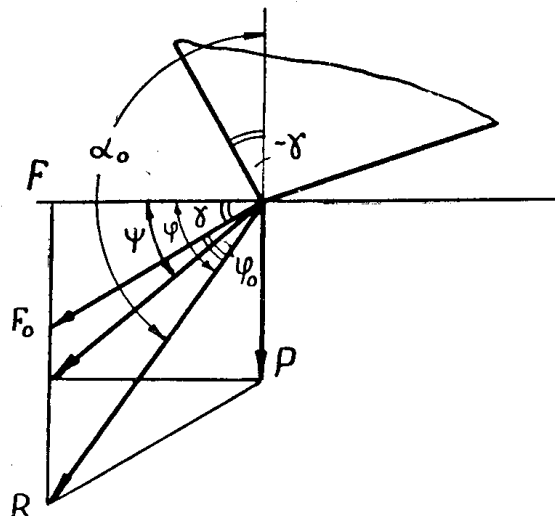


Рис. 3.

малой величины контакта резца с породой горизонтальные и осевые усилия перенесены на режущую кромку резца.

Следует отметить, что при резании горной породы, кроме горизонтальных усилий скальвания, имеет место также сила трения резца о породу. Поэтому процесс резания следует рассматривать в целом, как сопротивление породы перемещению резца. Из рис. 3 видно, что

$$P = k \cdot F = F \cdot \operatorname{tg} \Psi, \quad (1)$$

здесь $k = \operatorname{tg} \Psi$ — коэффициент сопротивления породы перемещению резца; Ψ — угол сопротивления перемещению.

Величина угла Ψ при изменении переднего угла резца также изменяется, поэтому прежде чем определять функцию $P = f(F)$, Ψ необходимо найти функцию $\Psi = f(\gamma)$. Для установления этой зависимости составим таблицу по материалам лабораторных исследований зависимости Ψ и γ (табл. 1). Угол Ψ рассчитывается по формуле (1).

Из этой таблицы видно, что для резцов с положительными передними углами величина Ψ остается примерно постоянной $26^\circ 30'$. Следовательно,

$$P = F \cdot \operatorname{tg} \psi = F \cdot \operatorname{tg} 26^\circ 30' = 0,5 F. \quad (2)$$

Таблица 1

γ	P	F	ψ	Примечание
60	10	20	$26^\circ 30'$	Порода среднезернистый песчаник;
45	11	22	$26^\circ 30'$	
30	12	25	$25^\circ 40'$	резец шириной
0	17,5	35	$26^\circ 30'$	2,5 мм;
-30	41	60	34°	глубина внедрения
-45	75	100	37°	резца 1 мм.
-60	120	140	41°	

Для резцов с отрицательными передними углами, как это видно из таблицы, угол ψ будет примерно равным

$$\psi = 26^\circ - \frac{\gamma}{4} \quad (3)$$

и тогда

$$P = F \cdot \operatorname{tg} \psi = F \cdot \operatorname{tg} \left(26^\circ - \frac{\gamma}{4} \right). \quad (4)$$

Чтобы выявить зависимость усилий резания от переднего угла резца, воспользуемся ранее выведенной нами формулой

$$\sigma = - \frac{\kappa_1 \cdot F \cdot \cos \alpha}{h(b+l)}, \quad (5)$$

где σ — критическое напряжение, возникающее в породе в моменты отделения элемента породы;

α — угол скола элемента;

h — глубина внедрения резца,

b — ширина резца;

l — постоянная величина;

κ_1 — коэффициент, зависящий от условий резания.

При резании по свободной поверхности $\kappa_1 = 2,1$; при резании в условиях забоя $\kappa_1 = 2,1$; при повторном резании (резание по краю канавки) $\kappa_1 = 9$.

Ранее нами было установлено, что

$$\alpha = \frac{\alpha_0}{2}, \quad (6)$$

где α_0 — угол между вертикалью и направлением результирующей R — силы, действующей нормально к передней грани резца F_0 , и осевой силы P (рис. 3).

С изменением переднего угла γ будет меняться направление результирующей и, следовательно, будет изменяться угол α .

Из рис. 3 видно, что

$$\alpha_0 = 90^\circ + \varphi, \quad (7)$$

здесь φ -- угол между направлением равнодействующей R и горизонтальной плоскостью. Как видно из рисунка,

$$\varphi = \varphi_0 - \gamma.$$

Подставляя это значение в формулы (7) и (6), получим

$$\alpha = \frac{90 + \varphi_0 - \gamma}{2}. \quad (8)$$

Предположим, что φ_0 является величиной постоянной (далее мы убедимся, что это предположение оказывается справедливым), и тогда можно легко определить ее величину.

При резании резцом с передним углом $\gamma = 0$

$$\varphi = \psi = \varphi_0 = 26^\circ.$$

Тогда формула (8) примет вид

$$\alpha = \frac{90 + 26 - \gamma}{2} = 58 - \frac{\gamma}{2}. \quad (9)$$

Подставив значение α в формулу (5), получим

$$\varepsilon = -\frac{\kappa_1 F \cdot \cos\left(58 - \frac{\gamma}{2}\right)}{h(b+l)}. \quad (10)$$

или

$$F = \frac{\varepsilon \cdot h(b+l)}{\kappa_1 \cdot \cos\left(58 - \frac{\gamma}{2}\right)}, \quad (11)$$

т. е. горизонтальные усилия при резании горных пород обратно пропорциональны $\cos\left(58^\circ - \frac{\gamma}{2}\right)$.

Для проверки выведенной формулы воспользуемся экспериментами, полученными нами и другими исследователями (табл. 2). Для удобства сравнения горизонтальные усилия F для резцов с $\gamma = 0$ приняты за 100% , остальные значения равны

$$\frac{F \cdot \gamma}{F_0} \cdot 100.$$

Как видно из табл. 2, полученная формула хорошо согласуется с фактическими данными.

Из всего вышесказанного можно сделать вывод, что наиболее рационально устанавливать резцы в коронке под углом $\gamma > 0$. Причем чем больше передний угол, тем меньше усилия, действующие на резец при том же эффекте.

Но, учитывая уменьшение усилий резания при увеличении переднего угла, следует учитывать также и прочность резцов. С увеличением γ будет уменьшаться угол приострения резца β_0 , а следовательно, и сечение резца. С другой стороны, сила, обусловливающая изгиб резца (сила излома), будет уменьшаться, а сила сжатия резца увеличиваться. В результате этого резец с большим передним углом при одинаковом сечении резца сможет выдержать большие нагрузки. В табл. 3 приводятся критические значения усилий, при которых происходит излом резцов.

Таблица 2

γ	Значения $\frac{F \cdot \gamma}{F_1} \cdot 100\%$			при резании угля			
	по формуле (9)	по фактическим данным, полученным при резании песчаников	по данным американских ученых, полученным при резании известняка	по данным Солода	по данным Гетопанова	по данным Казака	по данным Берона
+60	60	60	—	—	65	—	50
+30	72	70	80	72	70	67	67
0	100	100	100	100	100	100	100
-30	176	170	175	150	170	270	175

Из таблицы видно, что наибольшая стойкость резца против излома имеет место при переднем угле, равном $30 \div 45^\circ$. Кроме того, как было показано ранее, с уменьшением переднего угла до ($30 \div 40^\circ$) глубина внедрения резцов при их перемещении по забою существенно возрастает.

Таблица 3

Значение переднего угла, град	Величина усилий, при которых происходит излом резцов, кг		Примечание
	от—до	в среднем	
+60	20÷60	32	Задний угол резцов во всех случаях составлял $10 \div 15^\circ$, а выход резцов — 3 мм
+45	35÷95	64	
+30	40÷80	60	
0	30÷80	55	

Следовательно, проведенные исследования позволяют рекомендовать для определенного типа пород наиболее оптимальные значения переднего угла в пределах $+ (30 \div 45^\circ)$.

ЛИТЕРАТУРА

1. И. А. Остроушко. Разрушение горных пород при бурении. Госгеолиздат, 1952.
2. Научные труды МГИ, сборник № 19 и 21, 1957.
3. А. И. Берон, А. С. Казанский, Б. М. Лейбов, Е. З. Позин. Резание угля. Госгортехиздат, 1962.
4. Исследование разрушения горных пород с помощью резцов (обзор зарубежной литературы) ЦНИИТЭИ, нефтегаз, 1963.